

асимметрии в помеховом воздействии ($\chi_1^{\xi} \neq 0$) выходное распределение также становится асимметричным. Графики зависимостей для симметричного $\chi_1^{\xi} = 0$ (рис. 2) и несимметричного $\chi_1^{\xi} = 0,6$ (рис. 3) воздействий иллюстрируют влияние параметра γ/Δ на вид выходного распределения. Видно, чем больше отношение суммы интенсивностей управляющих потоков γ к полосе удержания Δ , тем заметнее переход от бимодального распределения к одномодальному. Этот эффект свидетельствует о проявляющейся тенденции к нормализации выходного процесса. На рис. 4 отражено влияние отношения сигнал/помеха на характер выходного распределения. Чем меньше это отношение, тем более «расплывается» выходная плотность.

ЛИТЕРАТУРА

- Казаков В. А. Изв. вузов — Радиофизика, 1987, 30, № 11, с. 1309.
- Тихонов В. И., Миронов М. А. Марковские процессы. — М.: Сов. радио, 1977. — 488 с.
- Казаков В. А. Введение в теорию марковских процессов и некоторые радиотехнические задачи. — М.: Сов. радио, 1973. — 242 с.
- Pawula R. F. — Trans. IEEE, 1967, IT-13, № 1, p. 33.
- Mazo J. E., Salz J. — Trans. IEEE, 1970, IT-16, № 4.
- Бердников А. А. — Изв. вузов — Радиофизика, 1980, 23, № 8, с. 998.
- Миронов М. А. — Радиотехника, 1980, 35, № 7, с. 70.
- Кляцкин В. И. Стохастические уравнения и волны в случайно-неоднородных средах. — М.: Наука, 1980. — 336 с.
- Шапиро В. Е., Логинов В. М. Динамические системы при случайных воздействиях. — Новосибирск: Наука, 1983. — 160 с.
- Стратонович Р. Л. Избранные вопросы теории флукутаций в радиотехнике. — М.: Сов. радио, 1961. — 558 с.
- Тихонов В. И. Статистическая радиотехника. — М.: Сов. радио, 1966. — 678 с.
- Бочков Г. Н., Дубков А. А., Шалфеев В. Д. Сб. трудов школы молодых ученых и специалистов по стабилизации частоты. — Нальчик, 1980, с. 124.

Рязанский радиотехнический
институт

Поступила в редакцию
9 января 1986 г.

УДК 537.874.6

БЛИЖНЕЕ ПОЛЕ ДИФРАКЦИИ ПЛОСКОЙ E -ПОЛЯРИЗОВАННОЙ ВОЛНЫ НА ПЕРИОДИЧЕСКОЙ РЕШЕТКЕ ИЗ КОАКСИАЛЬНЫХ ДИЭЛЕКТРИЧЕСКИХ ЦИЛИНДРОВ

Ф. Г. Богданов, Г. Ш. Кеванишвили, М. Н. Чихладзе

Исследование полей дифракции в ближней зоне дает уникальную информацию о свойствах дифрагирующих тел и о ходе дифракционного процесса [1-3].

Немалый интерес представляет исследование ближнего поля дифракции на периодических решетках, поскольку они находят широкое применение в физике и технике [2].

В настоящей работе на базе алгоритмизированной задачи [4] исследуется ближнее поле дифракции плоской E -поляризованной волны на периодической решетке из коаксиальных диэлектрических цилиндров (рис. 1). Здесь d — период решетки, v — номер цилиндра в решетке, a и b — радиусы коаксиальных цилиндров, ε_1 и ε_2 — их диэлектрические проницаемости, θ — угол падения волны.

В [4] показано, что полное поле, возникающее в пространстве в результате дифракции плоской E -поляризованной волны на данной структуре, полностью определяется составляющей электрического поля, для которой справедливы разложения

$$E_{z1} = \exp[ik(x \cos \theta + y \sin \theta)] + \quad (1)$$

$$+ \sum_{v=-\infty}^{\infty} \sum_{m=-\infty}^{\infty} X_m H_m^{(2)}(kr_v) \exp(ikv d \sin \theta + im\varphi_v) \quad (r_v > a),$$

$$E_{z2}^{(v)} = \sum_{m=-\infty}^{\infty} [G_m J_m(k_1 r_v) + D_m N_m(k_1 r_v)] \exp(ikvd \sin \theta + im\varphi_v) \quad (b < r_v < a); \quad (2)$$

$$E_{z3}^{(v)} = \sum_{m=-\infty}^{\infty} M_m J_m(k_2 r_v) \exp(ikvd \sin \theta + im\varphi_v) \quad (0 < r_v < b), \quad (3)$$

где $J_m(x)$, $N_m(x)$, $H_m^{(2)}(x)$ — функции Бесселя, Неймана и Ханкеля m -го порядка, $k = \omega/\sqrt{\epsilon_0\mu_0}$ — волновое число свободного пространства, $k_1 = \omega/\sqrt{\epsilon_1\mu_0}$ и $k_2 = \omega/\sqrt{\epsilon_2\mu_0}$ — волновые числа заполнений, r и φ — полярные координаты точки наблюдения M в координатах v -го цилиндра, X_m , C_m , D_m и M_m — мультипольные коэффициенты, являющиеся решениями соответствующей граничной задачи.

Для исследования дифракционного процесса на рис. 2 и 3 с помощью формул (1)–(3) построены картины линий равных амплитуд и фаз полного электрического поля дифрагированной волны на периоде решетки, выполненные при различных параметрах задачи (рис. 2 соответствует нерезонансному случаю при различных углах падения, а рис. 3 — резонансным случаям полного прохождения и полного отражения).

Границы заполнений выделены круговыми контурами. Линиям равных фаз сопоставлены их значения, а линиям равных амплитуд — их номера в порядке возрастания амплитуды. На рисунках отмечены также локальные экстремумы амплитуды.

Из анализа приведенных распределений следует, что наличие решетки приводит к несимметрии амплитудных и фазовых характеристик поля в ближней зоне вдоль периода решетки. Этот анализ позволяет сделать следующие выводы.

1) Линии равных амплитуд и фаз сгущаются внутри диэлектрика. В диэлектрике или вблизи него расположены локальные максимумы поля. Диэлектрик, таким образом, является ловушкой концентрации поля усиливается с увеличением угла падения θ . Так, при параметрах рис. 2 для $\theta = 0^\circ$ максимум амплитуды поля $A_{max} = 1,2$; для $\theta = 30^\circ$ $A_{max} = 1,3$; для $\theta = 60^\circ$ $A_{max} = 1,9$.

2) Максимумы амплитуды поля, как правило, располагаются в теневой части цилиндров. Цилиндры, по-видимому, обладают фокусирующим действием по отношению к падающей волне.

3) Искривление линий равных амплитуд и фаз тем больше, чем больше диэлектрическая проницаемость заполнения. Увеличением проницаемости диэлектрика можно добиться усиления наблюдаемых эффектов.

4) Распределение поля симметрично при нормальном падении (рис. 2а, 3а, б) и асимметрично при наклонном падении (рис. 2б, в) падающей волны. Внутри цилиндров могут реализоваться не только максимумы, но и минимумы амплитуды поля (рис. 2в, 3б).

5) При достаточно больших электрических размерах цилиндров в ближней зоне возникают узлы амплитуд и фаз поля (рис. 2б, в, 3а, б). В этих точках образуются вихри энергии поля и инверсия фаз: энергия вращается по замкнутому пути, не проникая через решетку. Энергия при этом движется через решетку по суженным каналам.

6) В точках полного прохождения (рис. 3а) реализуется полная симметрия поля вдоль направления распространения. При этом возникают максимумы амплитуды как в теневой, так и в передней части цилиндров. Внутри цилиндров при этом, по-видимому, формируется поле «шепчущей галереи».

7) При полном отражении (рис. 3б) в передней части цилиндров и вне их возникает протяженный минимум электрического поля, с которым связан пучок линий фаз. Фаза поля меняется при его пересечении на противоположную, а энергия закручивается в гигантский вихрь, охватывающий весь период решетки. Фаза поля почти не меняется вдоль решетки, что означает весьма малую скорость движения энергии: поле пульсирует без движения, отражая всю энергию обратно, в сторону падающей волны. В теневой части цилиндров возникает максимум электрического поля, которое медленно спадает за пределами цилиндров до нуля.

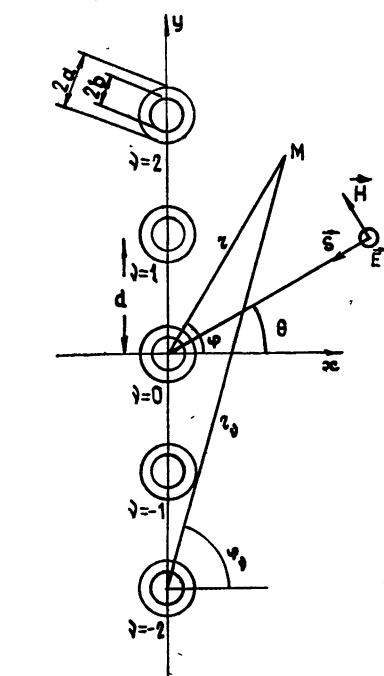


Рис. 1. Периодическая решетка из коаксиальных цилиндров в сечении $z=\text{const}$.

электромагнитного поля. Эффект концентрации поля усиливается с увеличением угла падения θ . Так, при параметрах рис. 2 для $\theta = 0^\circ$ максимум амплитуды поля $A_{max} = 1,2$; для $\theta = 30^\circ$ $A_{max} = 1,3$; для $\theta = 60^\circ$ $A_{max} = 1,9$.

2) Максимумы амплитуды поля, как правило, располагаются в теневой части цилиндров. Цилиндры, по-видимому, обладают фокусирующим действием по отношению к падающей волне.

3) Искривление линий равных амплитуд и фаз тем больше, чем больше диэлектрическая проницаемость заполнения. Увеличением проницаемости диэлектрика можно добиться усиления наблюдаемых эффектов.

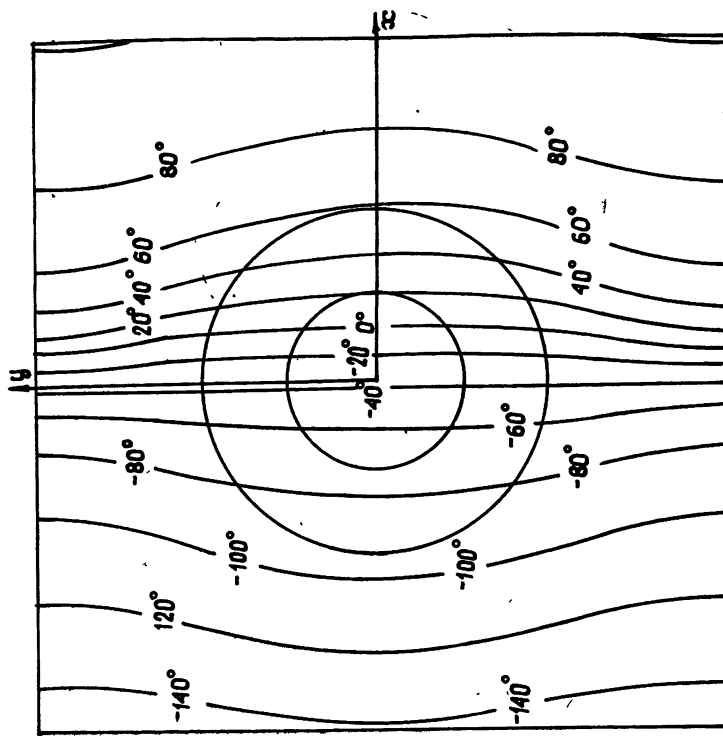
4) Распределение поля симметрично при нормальном падении (рис. 2а, 3а, б) и асимметрично при наклонном падении (рис. 2б, в) падающей волны. Внутри цилиндров могут реализоваться не только максимумы, но и минимумы амплитуды поля (рис. 2в, 3б).

5) При достаточно больших электрических размерах цилиндров в ближней зоне возникают узлы амплитуд и фаз поля (рис. 2б, в, 3а, б). В этих точках образуются вихри энергии поля и инверсия фаз: энергия вращается по замкнутому пути, не проникая через решетку. Энергия при этом движется через решетку по суженным каналам.

6) В точках полного прохождения (рис. 3а) реализуется полная симметрия поля вдоль направления распространения. При этом возникают максимумы амплитуды как в теневой, так и в передней части цилиндров. Внутри цилиндров при этом, по-видимому, формируется поле «шепчущей галереи».

7) При полном отражении (рис. 3б) в передней части цилиндров и вне их возникает протяженный минимум электрического поля, с которым связан пучок линий фаз. Фаза поля меняется при его пересечении на противоположную, а энергия закручивается в гигантский вихрь, охватывающий весь период решетки. Фаза поля почти не меняется вдоль решетки, что означает весьма малую скорость движения энергии: поле пульсирует без движения, отражая всю энергию обратно, в сторону падающей волны. В теневой части цилиндров возникает максимум электрического поля, которое медленно спадает за пределами цилиндров до нуля.

Исследование дифракционного процесса показывает, что структура дифрагированного поля в ближней зоне, зависящая от параметров решетки, полностью определяет условия движения энергии в системе, а следовательно, и дифракционные свойства решетки. Изменением параметров можно эффективно управлять переизлученным полем.



a)

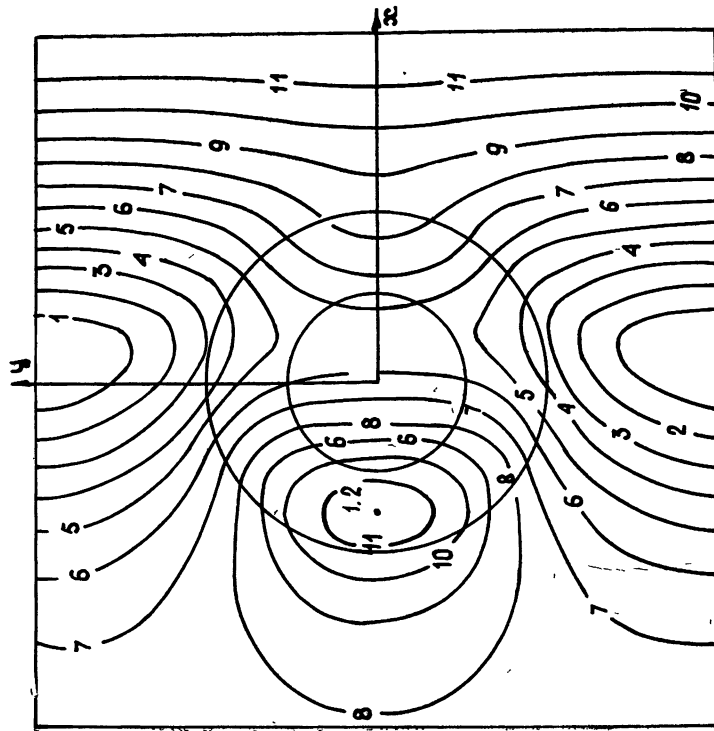
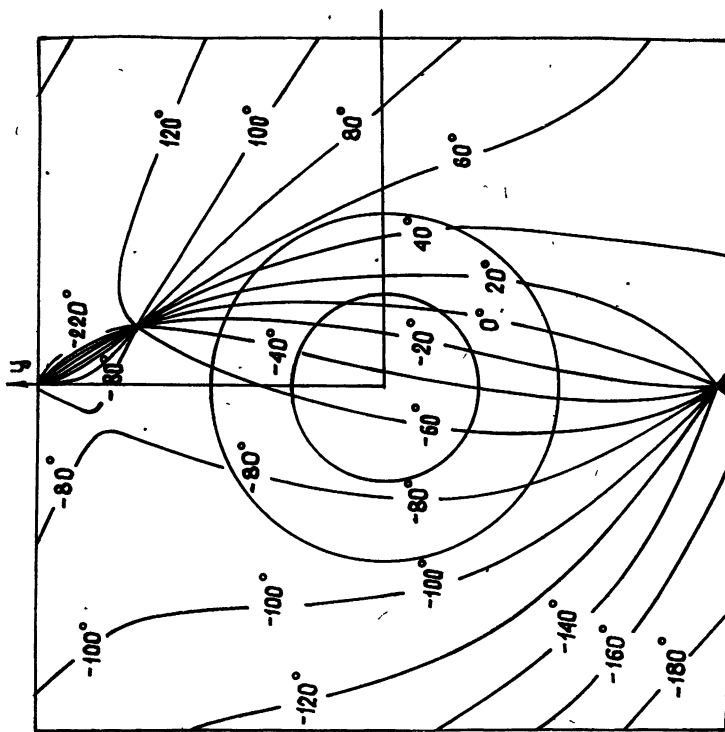


Рис. 2. Картинка линий равных амплитуд и фаз электрического поля на периоде решетки при различных углах падения θ и параметрах $d/\lambda=0.5$, $2a/d=0.5$, $b/a=0.5$, $\varepsilon_{r1}=5.4$, $\varepsilon_{r2}=2.1$: а) $\theta=0$.



б)

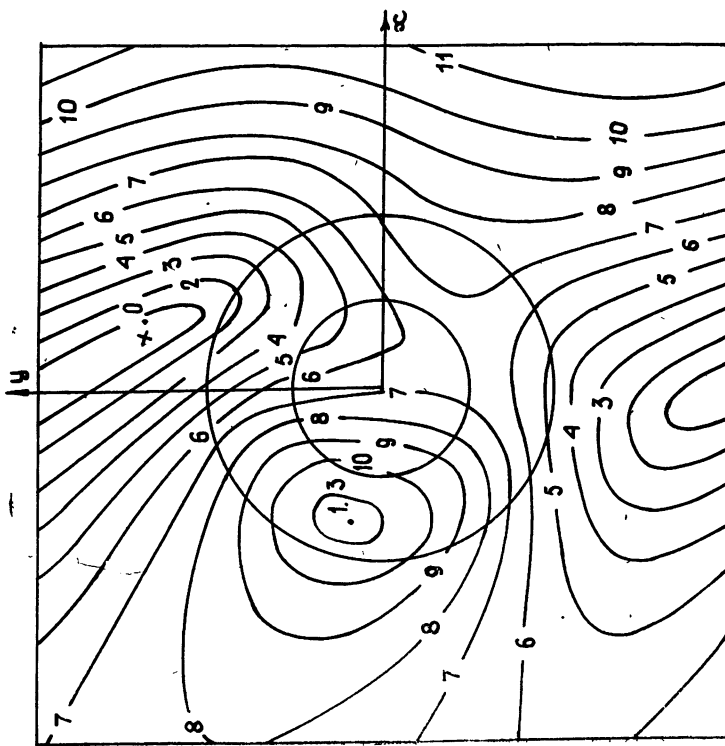
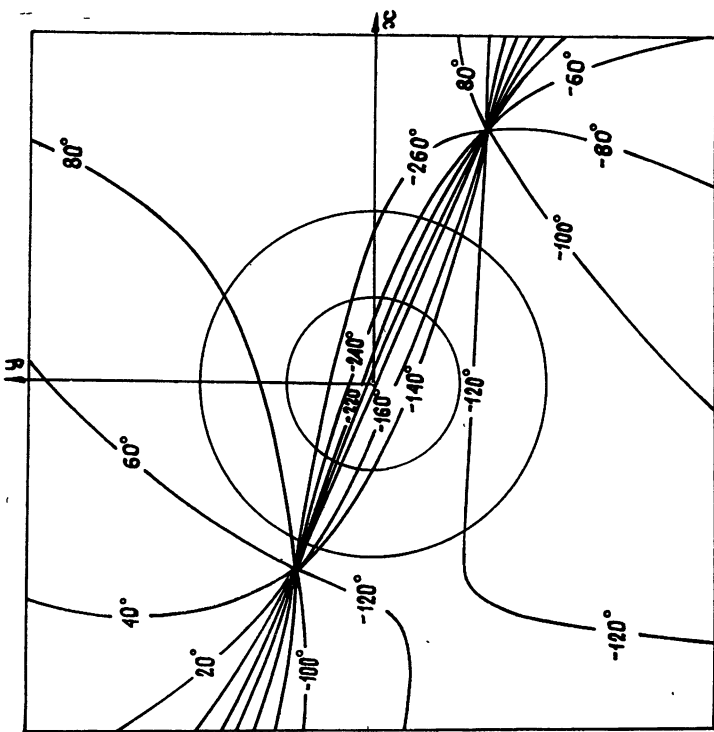


Рис. 2. Картинка линий равных амплитуд и фаз электрического поля на периоде решетки при различных углах падения θ и параметрах $d/\lambda = 0,5$, $2a/d = 0,5$, $b/a = 0,5$, $s_{r1} = 5,4$, $s_{r2} = 2,1$; б) $\theta = 30^\circ$.



б)

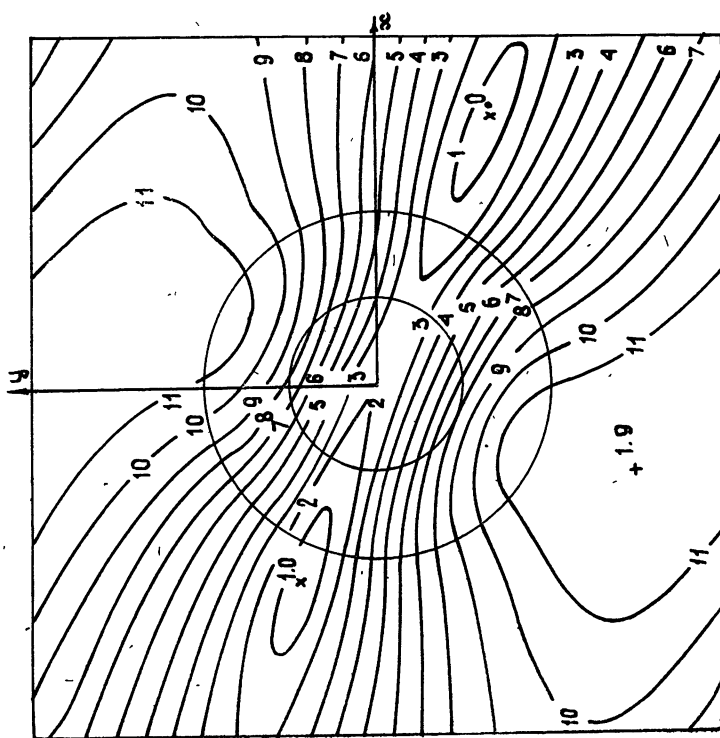
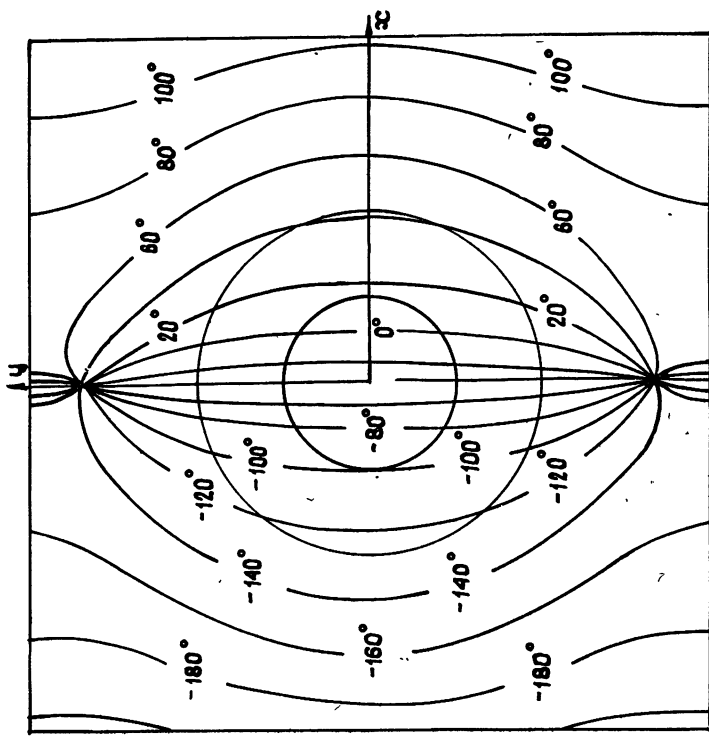


Рис. 2. Картинка линий равных амплитуд и фаз электрического поля на периоде решетки при различных углах падения θ и параметрах $d/\lambda=0,5$, $2a/d=0,5$, $b/a=0,5$, $\varepsilon_{r1}=5,4$, $\varepsilon_{r2}=2,1$; в) $\theta = 60^\circ$.



а)

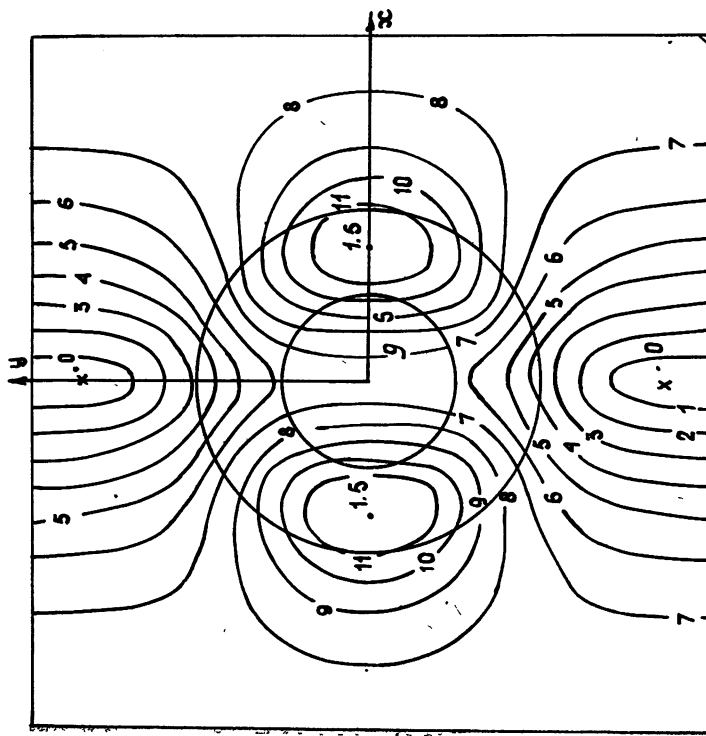
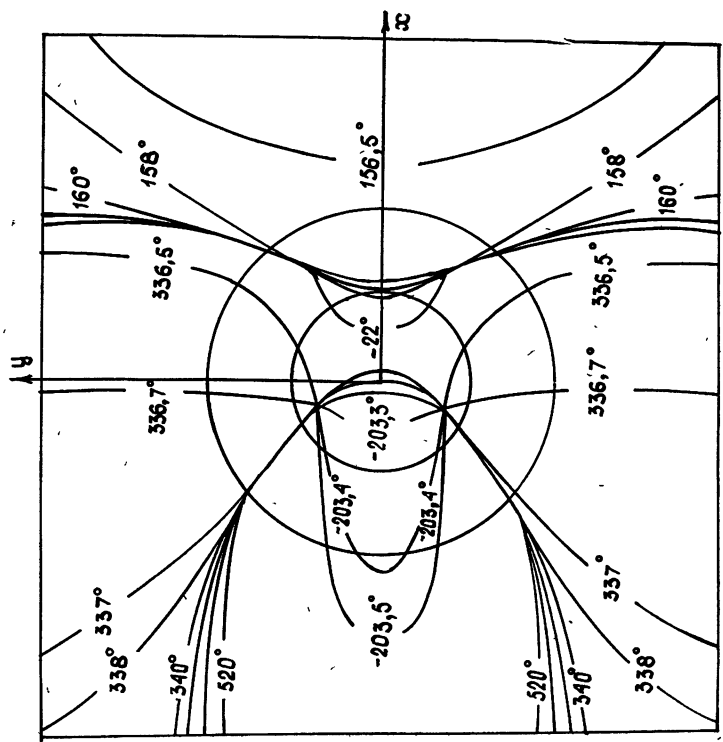


Рис. 3. Картинки линий равных амплитуд и фаз электрического поля на периоде решетки в резонансных точках при параметрах $\theta = 0$, $2a/d = 0.5$, $b/a = 0.5$, $\varepsilon_{r1} = 5.4$, $\varepsilon_{r2} = 2.1$; а) $d/\lambda = 0.62$.



б)

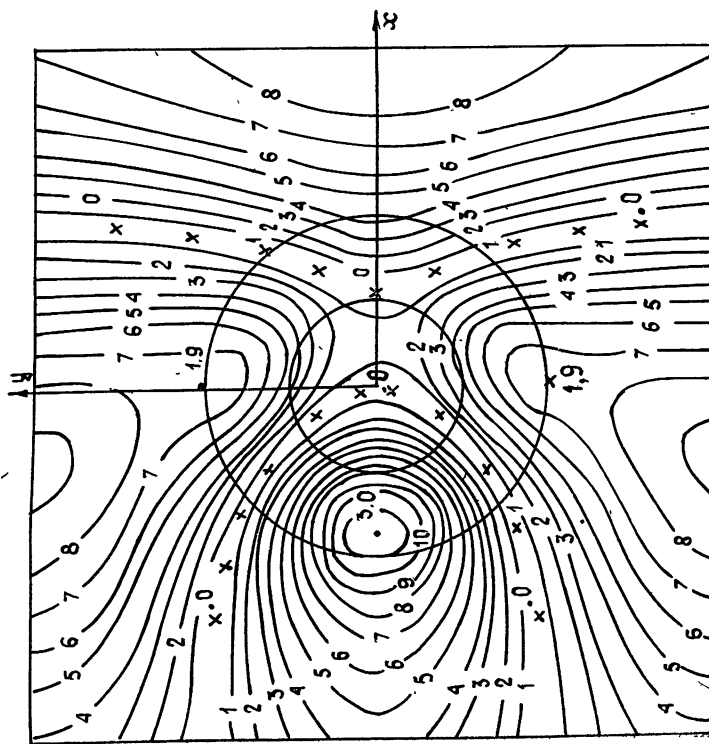


Рис. 3. Картина линий равных амплитуд и фаз электрического поля на периоде решетки в резонансных точках при параметрах
 $\theta = 0$, $2a/d = 0.5$, $b/a = 0.5$, $\epsilon_{r1} = 5.4$, $\epsilon_{r2} = 2.1$; б) $d/\lambda = 0.87$.

ЛИТЕРАТУРА

1. Борн М., Вольф Э. Основы оптики. — М.: Наука, 1970
- 2 Шестопалов В. П., Литвиненко Л. Н., Масалов С. А., Сологуб В. Г. Дифракция волн на решетках. — Харьков. Гос. ун-т, 1973.
3. Богданов Ф. Г., Кеванишвили Г. Ш. — Радиотехника и электроника, 1983, 28, с. 1432.
4. Богданов Ф. Г., Кеванишвили Г. Ш., Чихладзе М. Н., Чихладзе Г. Г. Доклады IX Всесоюзного симпозиума по дифракции и распространению волн — Тбилиси, 1985, 2, с. 216

Грузинский политехнический
институт

Поступила в редакцию
21 июля 1986 г.

УДК 621.372 512.3

ИМПУЛЬСНЫЙ РЕЖИМ ВОЗБУЖДЕНИЯ СВЕРХПРОВОДЯЩИХ РЕЗОНАТОРОВ В ФОРМИРОВАТЕЛЯХ СВЧ ИМПУЛЬСОВ

С. А. Новиков, С. В. Разин, Ю. Г. Юшков

Формирователи СВЧ импульсов, основанные на временной компрессии энергии электромагнитных колебаний, имеют выходную импульсную мощность, на 20÷70 дБ превышающую мощность СВЧ генератора накачки [1,2]. Наибольшее усиление достигается при использовании сверхпроводящих накопительных объемов с собственной добротностью $Q_0 = 10^9 \div 10^{10}$. Общий кпд зависит от эффективности накачки резонатора и потерь энергии в криогенной системе на его охлаждение.

Эффективностью накачки η является отношение энергии поля в резонаторе W_n к энергии возбуждающего поля. Для длительности импульса генератора t_n величина η может быть представлена в виде [3]

$$\eta = \frac{2\beta}{\beta + 1} \frac{(1 - e^{-\tau})^2}{\tau}, \quad (1)$$

где β — коэффициент связи, $\tau = t_n/\tau_0$, τ — постоянная времени, равная $\tau = 2Q_0/\omega(1+\beta)$, Q_0 — собственная добротность, ω — круговая частота электромагнитного поля.

Потери энергии в криогенной системе на охлаждение резонатора непосредственно связаны с омическими потерями в стеках резонатора. Они вызывают существенное уменьшение общего кпд формирователя, особенно при высоком уровне средней выходной мощности.

В данной работе оптимизируется режим работы при импульсном возбуждении СВЧ накопителя, а именно, определяются β и t_n , соответствующие максимальному, кпд, для заданных Q_0 и W_n . Приводятся построенные в универсальном параметрическом виде графики соответствующих зависимостей для широкого диапазона соотношений импульсной мощности генератора P_g и величины W_n .

Очевидно, что один и тот же уровень W_n можно получить при различных P_g , β и t_n . Целесообразно ввести безразмерную величину $\alpha = W_n/(t_0 P_g)$, где $t_0 = Q_0/\omega$, характеризующую соотношение между энергетическими параметрами и собственной добротностью Q_0 . В зависимости от их значений будет изменяться длительность импульса генератора, которую можно получить из выражения (1):

$$\frac{t_n}{t_0} = -\frac{2}{1 + \beta} \ln \left(1 - \frac{1 + \beta}{2\sqrt{3}} V^\alpha \right). \quad (2)$$

Расчет для постоянной α показывает, что зависимости $\eta(\beta)$ и $t_n(\beta)$ имеют экстремумы при одинаковых β . Максимальному η соответствует минимальное t_n , так как при постоянной α это равнозначно минимальной энергии возбуждающего импульса. Значения t_n и β , соответствующие экстремумам, являются оптимальными. На рис. 1 приведены графики зависимостей оптимальных β , t_n/t_0 , η , рассчитанных при α , взятой в качестве независимой переменной. Графики позволяют выбрать режим, обеспечивающий максимальную эффективность накачки резонатора. Заметим, что при $\alpha < 10^{-1}$ эффективность остается практически постоянной, $\eta \approx 0.8$.

Для более полного учета энергетических затрат рассмотрим потери в стеках резонатора W_p и потери на отражение $W_{\text{отр}}$ в течение длительности одного импульса t_n . Анализ переходного процесса приводит к следующим выражениям:

$$\frac{W_p}{t_n P_g} = \frac{4\beta}{(1 + \beta)^2} \left[1 - \frac{1}{\tau} ((1 - e^{-\tau}) + \frac{1}{2} (1 - e^{-\tau})^2) \right]; \quad (3)$$